

Conception vectorielle de FCSR

Marjane abdelaziz

LAGA

08 Juillet 2011

- 1 Séquences pseudo-aléatoires
- 2 Registres à rétroaction
- 3 Valuations
- 4 Classification des registres et des a.v.d complets
- 5 Registre linéaire
- 6 Registre linéaire avec retenue sur \mathbb{F}_p
- 7 Registres vectoriels à rétroaction avec retenue
- 8 Différents modes de connexion

Généralités sur les séquences

Séquence

Une séquence dans \mathbb{F}_{p^n} est une suite infinie d'éléments dans ce corps, notée $\underline{a} = (a_i)_{i \in \mathbb{N}}$.

Périodicité

On dit qu'une séquence $(a_i)_{i \in \mathbb{N}}$ est ultimement périodique s'il existe $i_0 > 0$ et T entiers tels que :

$$\forall i \geq i_0, \quad a_{i+T} = a_i$$

Si $i_0 = 0$, on dit qu'elle est strictement périodique.

Objectifs

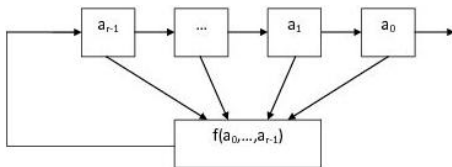
On cherche à générer des séquences binaires (ou sur \mathbb{F}_{p^n}) périodiques ayant de bonnes propriétés de pseudo-aléarité :

- une grande période.
- la propriété de l'équilibre (nombre de 0 et de 1 dans une période)
- la propriété de répétition (nombre d'apparition d'un mot binaire dans une période).

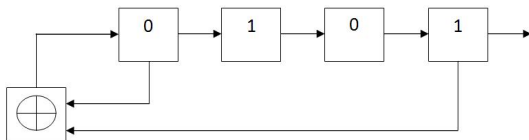
- une faible inter-correlation : $C_{\underline{a}, \underline{b}}(\tau) = \sum_{i=0}^{i=N-1} (-1)^{a_i + b_{i+\tau}}$.

Description

- Feedback Shift Registers (1950) : modèle classique pour générer des séquences.
- Conception : une taille r , une entrée (a_0, \dots, a_{r-1}) dans le corps fini \mathbb{F}_p^n , une fonction de retour f booléenne, le calcul du bit suivant $a_r = f(a_0, \dots, a_{r-1})$, un décalage dans le registre et une sortie a_0 .
- La séquence générée est périodique de période $\leq p^{nr}$.



Exemple de Registre

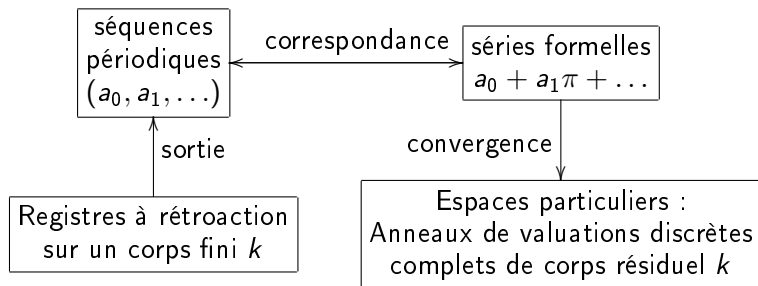


Séquence de sortie (1010110010001111010110...).

période= 15.

Analyse des séquences de sorties

Idee centrale utilisée pour l'analyse :



Propriétés de $a_0 + a_1\pi + \dots \Rightarrow$ Propriétés de (a_0, a_1, \dots) .

Définition d'une valeur absolue ultramétrique

Définition

Soit K un corps commutatif. Une valeur absolue est une application $|\cdot| : K \rightarrow \mathbb{R}_+$ qui vérifie :

- $|a| = 0 \Leftrightarrow a = 0$,
- pour tout $a, b \in K$, $|ab| = |a| \cdot |b|$ et
- pour tout $a, b \in K$, $|a + b| \leq |a| + |b|$.

$(K, |\cdot|)$ est appelé corps valué. Si $|\cdot|$ vérifie la condition suivante plus forte

- pour tout $a, b \in K$, $|a + b| \leq \max(|a|, |b|)$,

alors $|\cdot|$ est appelée valeur absolue non-archimédienne et $(K, |\cdot|)$ est appelé corps valué non-archimédien.

Exemples

- sur \mathbb{Q} , la valeur absolue p -adique définie par $|\frac{m}{n}|_p = (\frac{1}{p})^{r-s}$ avec $m = m' p^r$ et $n = n' p^s$ où $p \nmid m'$ et n' .
- sur $k(X)$, la valeur absolue X -adique définie par $|\frac{P}{Q}| = \alpha^{r-s}$ ($0 < \alpha < 1$) avec $P = P' X^r$ et $Q = Q' X^s$ où $X \nmid P'$ et Q' .
- Ces deux valeurs absolues sont ultramétriques.

Groupe des valeurs, Anneau de valuation et Corps résiduel

Définition

Soit $(K, |\cdot|)$ un corps valué.

- L'image de $|\cdot|$ privée de 0 est appelée groupe des valeurs et est notée Γ . C'est un sous groupe multiplicatif de $\mathbb{R}^{>0}$.
- L'ensemble des éléments de K de valeur absolue ≤ 1 noté \mathcal{O} est appelé anneau de valuation.

Proposition

\mathcal{O} est un sous anneau local de K . L'ensemble des éléments de K de valeur absolue < 1 noté \mathcal{M} est l'idéal maximal de \mathcal{O} . L'ensemble des inversibles de \mathcal{O} est $\mathcal{O} \setminus \mathcal{M}$.

Définition

Le quotient $k = \mathcal{O}/\mathcal{M}$ est appelé corps résiduel.

Valuation discrète

Définition

$|\cdot|$ est appelée valeur absolue discrète si Γ est monogène. Dans ce cas, $(K, |\cdot|)$ est dit corps de valuation discrète et \mathcal{O} est dit anneau de valuation discrète. Une valeur absolue discrète est ultramétrique.

Proposition

Il existe $\pi \in \mathcal{O}$ unique à un inversible près tel que $\forall a \in K$, il existe un entier $v(a)$ tel que $|a| = |\pi|^{v(a)}$.

Définition

π est appelé une uniformisante de \mathcal{O} et $v(a)$ est appelé valuation de a .

Proposition

- $\mathcal{M} = \pi\mathcal{O}$.
- \mathcal{O} est principal et possède un unique idéal premier $\pi\mathcal{O}$.

Complété d'un corps valué

Théorème de Complétion

Soit $(K, |\cdot|)$ un corps valué. Notons $C(K)$ l'ensemble des suites de Cauchy de K et $M(K)$ l'ensemble des suites de K convergentes vers 0.

$C(K)/M(K)$ noté \hat{K} est un corps complet valué avec pour valeur absolue

$$|(a_n)_n| = \lim_{n \rightarrow +\infty} |a_n|.$$

K s'injecte dans \hat{K} par l'application "diagonale" $x \rightarrow (x, x, \dots)$. K est dense dans \hat{K} . \hat{K} est l'unique extension valuée complète de K à isomorphisme près vérifiant ces propriétés. Il y a isomorphisme des groupes des valeurs $\hat{\Gamma} \cong \Gamma$ et isomorphisme des corps résiduels $\hat{k} \cong k$.

Complété d'un corps de valuation discrète

Théorème : Développement de Hensel

Si (K, ν) est un corps de valuation discrète alors son complété l'est aussi et ses éléments se développent de manière unique en série convergente à coefficients dans k : $a = \sum_{-\infty < n} a_n \pi^n$. $\hat{\mathcal{O}}$ est un anneau de valuation discrète complet. Ses éléments sont indexés par \mathbb{N} .

K	\hat{K}	$\hat{\mathcal{O}}$	$\hat{\mathcal{M}}$	\hat{k}
(\mathbb{Q}, ν_p)	\mathbb{Q}_p	$\mathbb{Z}_p, \sum_n a_n p^n$	$p \cdot \mathbb{Z}_p$	\mathbb{F}_p
$(k(X), \nu_X)$	$k((X))$	$k[[X]], \sum_n a_n X^n$	$X \cdot k[[X]]$	k

Table: Exemples de complété de corps de valuation discrète

Extension et indice de ramification

Définition

Soit $(K', v') \supseteq (K, v)$ une extension finie de corps valués.

- L'ordre du groupe quotient Γ'/Γ est appelé indice de ramification et est noté $[\Gamma' : \Gamma]$.
- La dimension de k' comme k espace vectoriel est appelé degré résiduel et est noté $[k' : k]$.

Théorème

Pour tout extension finie de corps valués, $[\Gamma' : \Gamma].[k' : k] \leq [K' : K]$.

Si K est un corps de valuation discrète complet alors

$$[\Gamma' : \Gamma].[k' : k] = [K' : K].$$

Classification des c.v.d. complets de corps rés. parfait

Définition

k est dit corps parfait dans deux cas : si k est de caractéristique 0 ou si l'homomorphisme de Frobenius $x \rightarrow x^p$ est surjectif dans le cas de caractéristique p . En particulier, tout corps fini est parfait.

Théorème

Soit K un corps de v.d. complet de corps résiduel k parfait. Alors :

- Si $\text{car}(K) = \text{car}(k)$, alors $K \cong k((X))$ et $\mathcal{O} \cong k[[X]]$.
- si $\text{car}(K) = 0$ et $\text{car}(k) = p$, alors $\mathbb{Q}_p \subseteq K$. Soit d l'indice de ramification de cette extension. On distingue 2 cas :
 - Si $d = 1$, alors $K \cong \text{Frac}(W(k))$ et $\mathcal{O} \cong W(k)$ l'anneau des vecteurs de Witt sur k . K est dit absolument non-ramifié.
 - Si $d > 1$, alors K est une extension de $\text{Frac}(W(k))$ de degré d et \mathcal{O} est $W(k)$ -module libre de rang d . K est dit ramifié.

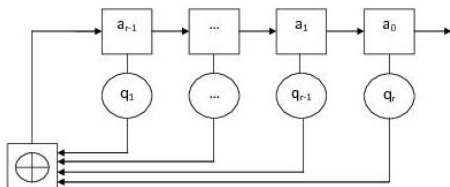
Classification pour le corps résiduel fini

On s'intéresse au cas de corps résiduel fini, car on cherche à générer des séquences périodiques, le plus simple étant de construire des séquences à coefficients dans un ensemble fini.

Caractéristique	Degré de ramification	Corps résiduel	Uniformisante	Anneaux de valuation discrète	Registre correspondant
$\text{car}(K) = p$ $\text{car}(k) = p$		\mathbb{F}_{p^n}	X	$\mathbb{F}_{p^n}[[X]]$	LFSR sur \mathbb{F}_{p^n}
$\text{car}(K) = 0$	$d = 1$	\mathbb{F}_p	p	$W(\mathbb{F}_p) = \mathbb{Z}_p$	FCSR
		$\mathbb{F}_{p^n}, n > 1$	p	$W(\mathbb{F}_{p^n})$	VFCSR
$\text{car}(k) = p$	$d > 1$	\mathbb{F}_p	$\pi; \pi^d = p$	$W(\mathbb{F}_p)[\pi] = \mathbb{Z}_p[\pi]$	d -FCSR
		$\mathbb{F}_{p^n}, n > 1$	$\pi; \pi^d = p$	$W(\mathbb{F}_{p^n})[\pi]$?

Table: Classification des a.v.ds et des registres à rétroaction.

LFSR ou Registre à décalage et à rétroaction linéaire

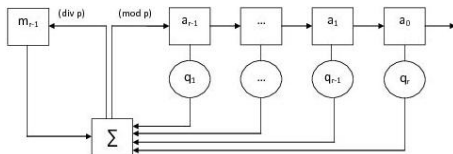


- Le LFSR est étudié et utilisé depuis 1950.
- L'addition se fait sans retenue dans $\mathbb{F}_{p^n}[X]$ et dans $\mathbb{F}_{p^n}[[X]]$.
- Séquence de sortie $\underline{a} = (a_0, a_1, \dots) \subseteq \mathbb{F}_{p^n}$ associée à la série formelle $a(X) = a_0 + a_1X + \dots \in \mathbb{F}_{p^n}[[X]]$.
- $a(X) \in \mathbb{F}_{p^n}(X) \Leftrightarrow \underline{a}$ périodique.

Propriétés des LFSR

Sortie	$\underline{a} = (a_0, a_1, \dots) \in \mathbb{F}_{p^n}$
coefficients de connexion	q_1, \dots, q_r
polynôme de connexion	$Q(X) = q_r X^r + \dots + q_1 X - 1$
série formelle associée	$a(X) = a_0 + a_1 X + \dots \in \mathbb{F}_{p^n}[[X]]$
propriété fondamentale	$a(X) = \frac{P(X)}{Q(X)}$
période	$\text{per}(\underline{a}) \mid \text{ord}_Q(X)$
période maximale m -séquence	$\text{per}(\underline{a}) = p^{nr} - 1$ si $(P, Q) = 1$ et si Q irréductible primitif
Séquence de Gold	si $p = 2, n = 1, \text{per} = 2^r - 1, r$ impair $s = 2^k + 1, (k, r) = 1$ $C_{\underline{a}, \underline{a}^s}(\tau) = -1, -1 \pm 2^{\frac{r+1}{2}}$

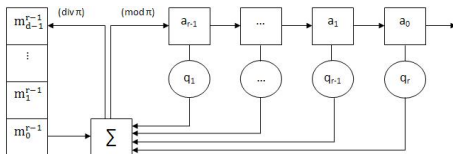
FCSR ou Registre à décalage et à rétroaction avec retenue



- Le FCSR est introduit par Goresky et Klapper en 1993.
- L'addition se fait avec une retenue dans \mathbb{Z} et dans \mathbb{Z}_p .
- Séquence de sortie $\underline{a} = (a_0, a_1, \dots) \subseteq \mathbb{F}_p$ associée à la série formelle $a = a_0 + a_1 p + \dots \in \mathbb{Z}_p$.
- $a \in \mathbb{Q} \Leftrightarrow \underline{a}$ périodique.

Propriétés des FCSR

Sortie	$\underline{a} = (a_0, a_1, \dots) \in \mathbb{F}_p$
coefficients de connexion	q_1, \dots, q_r
entiers de connexion	$q = q_r p^r + \dots + q_1 p - 1$
entier p -adique associé	$a = a_0 + a_1 p + \dots \in \mathbb{Z}_p$
propriété fondamentale	$a = \frac{s}{q}$
période	$\text{per}(\underline{a}) \mid \text{ord}_q(p)$
période maximale l -séquence	$\text{per}(\underline{a}) = q - 1$ si $(s, q) = 1$, si q premier et si p racine primitive de q
mémoire	$m \nearrow$ ou \searrow vers $[0, q_1 + \dots + q_r[$
Séquence de faible inter-corrélation	si $p = 2$, $(e, q - 1) = 1$ $C_{\underline{a}, \underline{a}^e}(\tau) = 0, q - 1$

d -FCSR ou Reg. à déc. et à rétroaction avec retenue et saut

- Le d -FCSR est introduit en 1994 par Goresky et Klapper.
- L'addition dans $\mathbb{Z}_p[\pi]$ se fait avec retenue et saut.
- Séquence de sortie $\underline{a} = (a_0, a_1, \dots) \subseteq \mathbb{F}_p$ associée à la série formelle $a = a_0 + a_1\pi + \dots \in \mathbb{Z}_p[\pi]$.
- $a \in \mathbb{Q}[\pi] \Leftrightarrow \underline{a}$ périodique.

extension des FCSRs sur \mathbb{F}_{p^n}

- Problème : Construire les FCSRs sur \mathbb{F}_{p^n} sans utiliser les vecteurs de Witt ?
- Réponse : Conception vectorielle en considérant l'anneau de $\mathbb{Z}_p[X]/(P(X))$ avec P polynôme irréductible modulo p .
- $\mathbb{Z}_p[X]/(P(X)) \cong W(\mathbb{F}_{p^n})$ est un anneau de valuation discrète complet de corps résiduel \mathbb{F}_{p^n} .

Conception du registre

- On garde le même schéma.
- L'état initial et les coefficients de connexion sont dans $\mathbb{F}_p[X]/(P)$.
- La mémoire est dans $\mathbb{Z}[X]/(P)$.
- On relève tous les éléments dans $\mathbb{Z}[X]/(P)$ respectivement par rapport à la base canonique $\mathcal{B} = \{1, \bar{X}, \dots, \bar{X}^{n-1}\}$.
- On écrit tous les éléments comme des vecteurs.
- Les calculs sont vectoriels et les fonctions $(\text{mod } p)$ et $(\text{div } p)$ s'appliquent composante par composante.
- le FCSR vectoriel est construit sur le triplet $(\mathbb{F}_p, P(X), \mathcal{B})$.

Definition

vecteur de connexion :

$$(\tilde{q}_0, \dots, \tilde{q}_{n-1}) \text{ où } \tilde{q}_i = \sum_{j=1}^{j=r} q_j^i p^j \text{ pour tout } 0 \leq i \leq n-1.$$

entier de connexion :

$q = q_r p^r + \dots + q_1 p - 1$ est un élément dans $\mathbb{Z}[X]/(P)$ et s'écrit $\tilde{q}_{n-1} \bar{X}^{n-1} + \dots + \tilde{q}_0 - 1$ par rapport à \mathcal{B} .

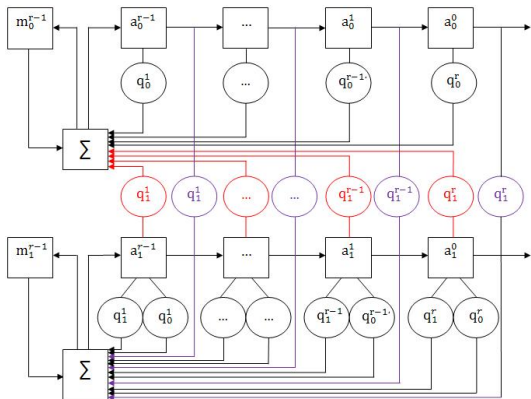
Exemple pour $n = 2$ et $p = 2$.

- On considère un FCSR construit sur $(\mathbb{F}_2, X^2 - X - 1, \mathcal{B})$.
- L'état initial est de la forme $(a_0^0 + a_1^0 \bar{X}, \dots, a_0^{r-1} + a_1^{r-1} \bar{X})$ dans $\mathbb{F}_2[X]/(X^2 - X - 1)$ et la mémoire initiale $m_0^{r-1} + m_1^{r-1} \bar{X}$ dans $\mathbb{Z}[X]/(X^2 - X - 1)$.

- On calcule $\sigma_0^r = \sum_{i=1}^{i=r} (q_1^i a_1^i + q_0^i a_0^i) + m_0^{r-1}$ et

$$\sigma_1^r = \sum_{i=1}^{i=r} (q_1^i a_1^{r-i} + q_1^i a_0^{r-i} + q_0^i a_1^{r-i}) + m_1^{r-1}.$$

- On calcule $a_0^r = \sigma_0^r(\text{mod}2)$, $a_1^r = \sigma_1^r(\text{mod}2)$, $m_0^r = \sigma_0^r(\text{div}2)$ et $m_1^r = \sigma_1^r(\text{div}2)$.
- On sort a_0 , on entre $a_r = a_0^r + a_1^r \bar{X}$ et $m_r = m_0^r + m_1^r \bar{X}$.

Représentation d'un FCSR vectoriel pour $p = 2$ et $n = 2$ 

Analyse du FCSR vectoriel

La séquence de sortie correspond à n sous-séquences dans \mathbb{F}_p .

$$\underline{a} = (a_i)_{i \in \mathbb{N}} = \sum_{j=0}^{j=n-1} (a_j^i)_{i \in \mathbb{N}} \bar{X}^j = \left(\begin{array}{cccc} a_0^0 & a_0^1 & a_0^2 & \cdots \\ a_1^0 & a_1^1 & a_1^2 & \cdots \\ \vdots & \vdots & \vdots & \vdots \\ a_{n-1}^0 & a_{n-1}^1 & a_{n-1}^2 & \cdots \end{array} \right)_{\mathcal{B}}$$

À chaque sous-séquence, on associe son développement p -adique

$$\beta_j = a_j^0 + a_j^1 p + \dots + a_j^i p^i + \dots$$

On obtient un vecteur d'entiers p -adiques $\beta = (\beta_j)_{j=0}^{j=n-1}$.

Analyse du FCSR vectoriel

Le vecteur β vérifie un système linéaire à coefficients entiers avec une matrice \mathcal{M} dont les coefficients diagonaux sont impairs et les autres pairs. Les coefficients sont des combinaisons linéaires des \tilde{q}_i .

Definition

\mathcal{M} est appelée matrice de connexion.

Théorème

On se donne un FCSR sur $(\mathbb{F}_p, P, \mathcal{B})$ de matrice de connexion \mathcal{M} et d'entier de connexion q . Soit une séquence de sortie et β son vecteur p -adique associé. Alors

- $\beta \in \frac{1}{|\det \mathcal{M}|} \mathbb{Z}^n$
- \mathcal{M} est la matrice de la transformation linéaire définie comme la multiplication par $-q$ par rapport à la base \mathcal{B} .
- $N_{\mathbb{Q}}^{\mathbb{Q}[X]/(P)}(-q) = \det \mathcal{M}$.

Cas quadratique	
Corps	$\mathbb{F}_2[X]/(X^2 - X - 1)$
séquence de sortie	$\underline{a} = (a_1^i)_{i \in \mathbb{N}} \bar{X} + (a_0^i)_{i \in \mathbb{N}}$
vecteur de connection	$(\tilde{q}_0, \tilde{q}_1)$
matrice de connection	$\mathcal{M} = \begin{pmatrix} 1 - \tilde{q}_0 & -\tilde{q}_1 \\ -\tilde{q}_1 & 1 - \tilde{q}_0 - \tilde{q}_1 \end{pmatrix}$
vecteur rationnel correspondant	$\beta = \left(\frac{\tilde{p}_0}{\tilde{q}}, \frac{\tilde{p}_1}{\tilde{q}} \right)$
forme du déterminant	forme quadratique $u^2 + uv - v^2$ $u = \tilde{q}_0 - 1$ et $v = \tilde{q}_1$

Périodicité

- $\tilde{q} = |N(-q)|$ est un entier impair représenté par une n -forme avec pour arguments $\tilde{q}_0 - 1, \tilde{q}_1, \dots$ et \tilde{q}_{n-1} .
- Toute séquence générée par un FCSR vectoriel $(\mathbb{F}_2, P, \mathcal{B})$ est périodique.
- La période de \underline{a} est le PPCM des périodes des sous-séquences.
- Soit $\beta = \left(\frac{p_j}{\tilde{q}}\right)_{j=0}^{j=n-1}$ le vecteur p -adique associé à la séquence de sortie.

$$\text{Alors } \text{per}(\underline{a}) = \text{PPCM}_{0 \leq j \leq n-1} \left\{ \text{ord}_{\frac{\tilde{q}}{\gcd(\tilde{q}, p_j)}}(p); p_j \notin \tilde{q}\mathbb{Z} \right\}$$

- $\text{per}(\underline{a}) / \text{ord}_{\tilde{q}}(p) / \tilde{q} - 1$
- Cette borne est atteinte si \tilde{q} est un nombre premier représenté par la n -forme dont p est racine primitive modulo \tilde{q} et s'il existe p_j tel que $p_j \notin \tilde{q}\mathbb{Z}$.
- On obtient des l -séquences.

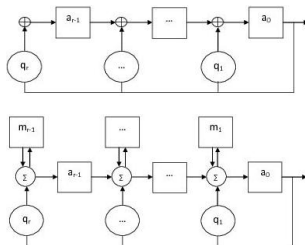
Exemples de périodes maximales

\tilde{q}	u, v
11	3,2
59	7,2
101	9,4
701	27,28

$\tilde{q} =$	3974140296190695420616004753553979604200521434082 082527268932790276172312852637472641991806538949
$u =$	1993524591318275015328041611344215036460140087963
$v =$	1993524591318275015328041611344215036460140087860

Mode Galois

- On cherche à diversifier le mode de connexion entre les différentes cellules du registre.
- Le mode de Fibonacci est le plus classique mais le moins adapté aux applications cryptographiques.
- Le mode Galois est introduit en 2002 par Goresky et Klapper. Il met à jour simultanément toutes les cellules du registre à chaque top d'horloge.



Mode Ring et Généralisation

- En 2004, Mrugalski introduit pour les LFSRs une généralisation appelée mode Ring. Les connexions sont arbitraires.
- En 2009, Arnault, Berger et al. l'adaptent aux FCSRs.
- La fonction de transition est représentée par une matrice $T = (t_{i,j}) \in \mathcal{M}_{r \times r}(\mathbb{F}_p)$ où chaque coefficient représente la connexion entre la "cellule i " et la "cellule j ".

$$\bullet \text{ Fib} = \begin{pmatrix} 0 & \dots & 0 & q_r \\ 1 & \dots & 0 & q_{r-1} \\ \vdots & \ddots & \vdots & \vdots \\ 0 & \dots & 1 & q_1 \end{pmatrix} \text{ Gal} = \begin{pmatrix} q_1 & \dots & q_{r-1} & q_r \\ 1 & \dots & 0 & 0 \\ \vdots & \ddots & \vdots & \vdots \\ 0 & \dots & 1 & 0 \end{pmatrix}.$$

Analyse en mode Ring

- L'analyse est identique et les séquences de sorties vérifient les mêmes propriétés.
- La sortie d'un LFSR en mode Ring de matrice de transition T peut être générée par un LFSR en mode Fibonacci de polynôme de connexion $\det(I - XT)$.
- La sortie d'un FCSR en mode Ring de matrice de transition T peut être générée par un FCSR en mode Fibonacci d'entier de connexion $\det(I - pT)$.

Le mode Ring adapté aux VFCSRs

- La matrice de transition $T = (t_{i,j})$ d'un VFCSR est à coefficients dans \mathbb{F}_p^n comme l'état initial.
- On traduit la multiplication par $t_{i,j}$ comme une multiplication vectorielle : $t_{i,j}$ est remplacé par un bloc $n \times n$ à coefficients dans \mathbb{Z} et T par une matrice \mathcal{T} (de bloc) $nr \times nr$
- On écrit tous les éléments comme des vecteurs dans la base \mathcal{B} :

$$\begin{aligned} a(t) &= (a_0^0(t), \dots, a_{n-1}^0(t), \dots, a_0^{r-1}(t), \dots, a_{n-1}^{r-1}(t)) \\ m(t) &= (m_0^1(t), \dots, m_{n-1}^1(t), \dots, m_0^r(t), \dots, m_{n-1}^r(t)). \end{aligned}$$

- On calcule $a(t+1) = a(t) \cdot \mathcal{T} + m(t) \pmod{p}$ et $m(t+1) = a(t) \cdot \mathcal{T} + m(t) \pmod{\text{div} p}$

Exemple pour le cas $p = 2$ et $n = 2$ de taille $r = 2$

Un VFGR construit sur $(\mathbb{F}_2, X^2 - X - 1, \mathcal{B})$ de taille $r = 2$ a pour matrice de transition à coefficients dans \mathbb{Z} :

$$\mathcal{T} = \begin{pmatrix} t_0^{1,1} & t_1^{1,1} & t_0^{1,2} & t_0^{1,2} \\ t_1^{1,1} & t_0^{1,1} + t_1^{1,1} & t_1^{1,2} & t_0^{1,2} + t_1^{1,2} \\ t_0^{2,1} & t_1^{2,1} & t_0^{2,2} & t_1^{2,2} \\ t_1^{2,1} & t_0^{2,1} + t_1^{2,1} & t_1^{2,2} & t_0^{2,2} + t_1^{2,2} \end{pmatrix}$$

et pour fonction de transition

$$(a_0^0(t), a_1^0(t), a_0^1(t), a_1^1(t)) \otimes \mathcal{T} \oplus (m_0^1(t), m_1^1(t), m_0^2(t), m_1^2(t)).$$

Comparaison avec les FCSR binaires de taille 4

Registres	différents modèles	valeurs de $\tilde{q} = \det(I - 2T) $	périodes max. $\text{ord}_{\tilde{q}}(2) = \tilde{q} - 1$
FCR binaire taille 2	2^4	1,3,5	2,4
FCR binaire taille 4	2^{16}	1,3,5,7,9, ..., 59,61, 63,69,75,77,81,87, 91,99,135	2,4,10,12,18, 28,36,52,58,60
VFCSR-Q en Fib. and Gal. of size 2	2^4	1,5,9,11,19,25,29, 31,41	4,10,18,28
VFCSR-Q of size 2	2^8	1,5,9,11,19,25,29, 31,41,45,49,55,61,99	4,10,18,28,60

Table: Comparaison de périodes maximales avec les FCRs binaires de taille double

Merci !